

Trabalho Prático 1: Identificação de Objetos Oclusos

Marney Santos de Melo

Matrícula: 2024106034

Outubro de 2025

Sumário

1	Introdução	1
2	Método	1
2.1	Tipos Abstratos de Dados (TADs)	1
2.2	Algoritmo de Geração de Cena	2
2.2.1	Fase 1: Ordenação por Profundidade	2
2.2.2	Fase 2: Cálculo de Oclusão	2
3	Análise de Complexidade	2
3.1	Complexidade de Tempo	3
3.2	Complexidade de Espaço	3
4	Estratégias de Robustez	4
5	Análise Experimental	4
5.1	Estratégias Avaliadas	4
5.2	Metodologia	5
5.3	Resultados e Discussão	5
5.4	Observação sobre a Largura dos Objetos	7
6	Conclusões	7
7	Bibliografia	8

1 Introdução

Na área da computação, em especial na computação gráfica para desenvolvimento de jogos, um problema recorrente é a complexidade de renderizar cenas de maneira eficiente. Uma estratégia muito utilizada para otimizar o desempenho é o descarte de oclusão (occlusion culling), uma estratégia onde a ideia principal consiste em processar e renderizar apenas objetos, ou parte de objetos, que estejam visíveis a partir de um 'view point', ou seja, renderizar apenas os objetos que estejam no campo de visão do observador e não estejam integralmente/parcialmente ocultos por outros objetos.

O trabalho proposto aborda uma versão simplificada deste problema, focando em um cenário unidimensional onde os objetos são representados por retas paralelas a um eixo. O objetivo é desenvolver um programa em C ou C++ que seja capaz de receber uma série de entradas que criam ou movimentam objetos e geram cenas em um determinado momento de tempo. A cada cena gerada, o algoritmo deve indentificar e imprimir quais partes dos objetos (retas) estão efetivamente visíveis, considerando a oclusão por outros objetos.

A solução pensada envolve a implementação de Tipos Abstratos de Dados (TADs) para representar os objetos e a cena final. Como tópico principal, o trabalho investiga o **compromisso** de desempenho entre duas estratégias de ordenação dos objetos, que é um passo fundamental do algoritmo para ***Identificação de Objetos Oclusos***: manter a coleção de objetos sempre ordenada a cada movimentação ou ordená-la apenas quando a geração da cena for solicitada.

2 Método

O sistema foi desenvolvido na linguagem C++ e compilado com a flag para o padrão C++11 através do g++, utilizando o Sistema Operacional Linux Ubuntu 22.04 LTS, seguindo as restrições presentes no enunciado. A solução foi estruturada em torno de Tipos Abstratos de Dados (TADs) para encapsular as principais entidades do problema e o algoritmo de geração de cenas.

2.1 Tipos Abstratos de Dados (TADs)

Foram implementadas classes para representar os objetos, a cena final e um gerenciador para a coleção de objetos.

- **Classe Objeto:** Armazena os atributos de um objeto individual, como ID, coordenadas do centro (x, y), largura e as posições de início e fim no eixo X, calculadas a partir do centro e da largura. Possui um método '**AtualizaPosicao**' para modificar suas coordenadas e recalcular seus limites, além de possuir getters e um construtor.
- **Classe GerenciadorDeObjetos:** Gerencia um array estático de instâncias da classe **Objeto**. É responsável por processar os comandos de criação ('O') e movimento ('M'), adicionando novos objetos ou atualizando a posição de objetos existentes no array.
- **Classe Cena:** Gerencia um array estático de **SegmentoVisivel**, uma struct que armazena o ID, o início e o fim de uma parte visível de um objeto. Possui métodos

para adicionar novos segmentos visíveis e para imprimir o conteúdo final da cena no formato especificado no enunciado: S <tempo> <objeto> <inicio> <fim>.

2.2 Algoritmo de Geração de Cena

O algoritmo implementado na função `geraCena` segue a estrutura apresentada na *Figura 4: Algoritmo para construção de cenas*, presente no enunciado, e é executado sempre que um comando ‘C’ é recebido. A execução do algoritmo é dividido em duas fases principais.

2.2.1 Fase 1: Ordenação por Profundidade

A primeira ação da função é ordenar o array de todos os objetos com base em sua coordenada Y (profundidade), do menor para o maior. Isso organiza os objetos da frente para o fundo, algo indispensável para a próxima fase - Cálculo de Oclusão -, pois apenas objetos mais próximos (menor Y) podem ocultar objetos mais distantes. Para esta etapa, foi implementado um algoritmo *MergeSort*.

Nota: A escolha por algoritmo de ordenação estável foi feita visando a robustez do programa em casos de objetos com a mesma profundidade (coordenada Y). Esta decisão será discutida em mais detalhes na Seção 4: [Estratégias de Robustez](#).

2.2.2 Fase 2: Cálculo de Oclusão

Para gerenciar as áreas já ocupadas na cena, o algoritmo utiliza uma estrutura auxiliar chamada *Intervalo*, que armazena um par de coordenadas de início e fim no eixo X.

Esses intervalos são armazenados em um array denominado ‘*horizonte*’ (conhecido também como scanline em algoritmos de varredura), que representa os trechos já preenchidos por objetos analisados. Em suma, o *horizonte* contém a união de todos os intervalos no eixo X que já foram ocupados.

Dessa forma, a regra de oclusão é direta: ao analisar um novo objeto, qualquer parte de seu intervalo que coincida com um dos intervalos presentes no horizonte é considerada oclusa (invisível) e, portanto, não é adicionada à cena final.

Após o cálculo das partes visíveis de um objeto, seu intervalo completo é adicionado ao horizonte, atualizando-o para que possa “esconder” os objetos subsequentes.

Resumidamente, o cálculo de oclusão é feito por meio da comparação entre os elementos do array de objetos ordenados e o array de objetos já analisados (horizonte). Se houver coincidência, a parte coincidente do novo objeto é automaticamente considerada oclusa, uma vez que os objetos já analisados têm sempre uma coordenada Y menor ou igual à do novo objeto a ser analisado.

Essa lógica pressupõe que, em casos de profundidades iguais, a ordem de aparecimento dos objetos define qual será visível e qual será ocluso, o que reforça a importância do uso de um algoritmo de ordenação estável, conforme mencionado anteriormente.

3 Análise de Complexidade

A análise de complexidade foca na função `geraCena`, que é o núcleo computacional do programa. Seja n o número total de objetos na cena.

3.1 Complexidade de Tempo

A complexidade de tempo total é a soma de suas duas fases de execução citadas anteriormente, a *Ordenação* e o *Cálculo de Oclusão*.

- **Ordenação:** A primeira etapa do algoritmo consiste em organizar todos os n objetos por profundidade. Para essa tarefa, foram implementados três algoritmos com características distintas para a análise experimental: **Merge Sort**, **Quick Sort** e **Insertion Sort**.
 - Os algoritmos **Merge Sort** e **Quick Sort** foram escolhidos por sua excelente complexidade de tempo média de $O(n \log n)$. É importante ressaltar que, enquanto o Merge Sort garante esse desempenho em todos os cenários, o Quick Sort, em seu pior caso (embora raro na prática), pode apresentar uma complexidade quadrática de $O(n^2)$, caso os pivôs sejam mal escolhidos (p. ex. o menor ou maior elemento do sub-vetor).
 - O **Insertion Sort** foi escolhido por uma característica interessante: apesar de ter complexidade quadrática ($O(n^2)$) no caso médio e pior caso, ele alcança um desempenho linear ($O(n)$) quando o vetor já está quase ordenado. Essa vantagem no melhor caso o torna ideal para a estratégia experimental de reordenar o vetor a cada movimento, já que apenas um elemento do vetor é movido a cada movimento.
- **Loop de Oclusão:** Após a ordenação, é iniciada a fase de cálculo da visibilidade, a fase mais custosa do programa. O algoritmo percorre cada um dos n objetos em um loop principal. A complexidade surge porque, para cada objeto, é necessário compará-lo com o "horizonte", o array que contém todos os objetos já analisados. No pior cenário, onde poucos objetos se ocultam, o horizonte cresce a cada passo. Isso significa que o trabalho aumenta progressivamente: para o primeiro objeto o custo é mínimo, para o segundo é maior, para o terceiro maior ainda, e assim por diante. Esse trabalho acumulado se assemelha à soma de uma progressão aritmética:

$$(1 + 2 + \dots + (n - 1)) = \sum_{i=0}^{n-1} i = \frac{n(n - 1)}{2} = \frac{n^2 - n}{2} \quad (1)$$

resultando assim em uma complexidade $O(n^2)$

A complexidade total é a do termo dominante, ou seja, o que mais cresce, portanto, a complexidade de tempo da função **geraCena** é **$O(n^2)$** .

3.2 Complexidade de Espaço

A complexidade de espaço refere-se a memória adicional utilizada pelo algoritmo.

- **Estruturas de Dados:** Os arrays para o **horizonte** e para a mesclagem (**temp_horizonte**) podem, no pior caso, armazenar n intervalos disjuntos, resultando em um uso de espaço de $O(n)$.

- **Ordenação:** O Merge Sort requer um array auxiliar de tamanho n , consumindo $O(n)$ de espaço. O Quick Sort é um algoritmo in-place, ou seja, não utiliza memória adicional significativa, tendo em médio o espaço extra com complexidade $O(\log n)$, mas no pior caso pode chegar a $O(n)$.

O fator dominante é linear, portanto, a complexidade de espaço é $O(n)$.

4 Estratégias de Robustez

Para garantir a estabilidade do programa, algumas estratégias de programação defensiva foram consideradas.

- **Algoritmo de Ordenação Estável:** A decisão de utilizar um algoritmo de ordenação estável, como o MergeSort foi tomada para garantir a consistência em casos onde os objetos possuem a mesma profundidade e ocorre a interseção entre eles no eixo X, garantindo que o objeto criado primeiro tenha prioridade de visibilidade, fazendo com que o outro objeto seja automaticamente ocluído.
- **Limites de Capacidade:** Como o sistema utiliza arrays estáticos com tamanho pré-definido (`MAX_OBJETOS`), foram implementadas verificações nas funções de adição de objetos e segmentos. Caso o número de elementos exceda a capacidade máxima do array, uma mensagem de erro é exibida no `std::cerr` e a adição não é concluída, prevenindo um overflow.
- **Entrada de Dados:** A implementação assume que o formato da entrada é sempre válido, conforme o especificado. Uma versão mais robusta incluiria validações para cada comando lido, tratando casos de comandos não esperados, falta de parâmetros ou tipos de dados incorretos, garantindo que o programa não apresente comportamento inesperado com entradas não consistentes.

5 Análise Experimental

O objetivo desta análise foi avaliar experimentalmente o **compromisso** de desempenho entre diferentes estratégias de ordenação, um passo fundamental para o algoritmo de oclusão. Foram comparadas três abordagens principais e investigado o impacto de limiares de reordenação intermediários.

5.1 Estratégias Avaliadas

- **Estratégia 1 (Ordenar a cada Movimento):** O array de objetos é reordenado a cada comando ‘M’ utilizando o algoritmo **Insertion Sort**, ideal para arrays quase ordenados.
- **Estratégia 2 (Ordenar sob Demanda - Merge Sort):** O array só é ordenado quando um comando ‘C’ é recebido, utilizando o **Merge Sort**, que garante complexidade de pior caso $O(n \log n)$.
- **Estratégia 3 (Ordenar sob Demanda - Quick Sort):** Idêntica a Estratégia 2, mas utilizando o **Quick Sort**.

5.2 Metodologia

Os testes foram executados na mesma máquina e a métrica de desempenho foi o tempo gasto exclusivamente nas operações de ordenação, medido em nanossegundos com a biblioteca <chrono> do C++11. Foram gerados casos de teste variando dois parâmetros principais:

- **Número de Objetos (n):** Testes com $n \in \{100, 500, 1000, 5000\}$.
- **Frequência de Movimentos (f):** Testes com alta frequência (100 comandos ‘M’ para cada ‘C’) e baixa frequência (10 ‘M’ para cada ‘C’).
- **Número de Cenas (C):** Os testes de frequência (com $N=1000$) foram executados com $C = 500$, enquanto os testes de escalabilidade (com N variável) utilizaram $C = 100$.

5.3 Resultados e Discussão

Os dados coletados nos experimentos foram analisados e serão apresentados a seguir em tabelas e graficos. A análise foca no tempo de ordenação, que foi isolado para uma comparação justa entre as estratégias.

Estratégia	Baixa Frequência (ms)	Alta Frequência (ms)
InsertionSort por Movimento	3015.6	570.9
QuickSort por Cena	1049.0	286.8
MergeSort por Cena	57.3	62.2

Tabela 1: Comparação do Tempo de Ordenação (em ms) para $N=1000$ nos cenários de baixa e alta frequência de movimentos.

Limiar	QuickSort (ms)	MergeSort (ms)
10	8928.4	7664.7
50	1260.4	682.4
100	781.6	356.1
250	508.0	182.2
500	392.3	131.6
1000	354.1	105.3

Tabela 2: Análise do Tempo de Ordenação (em ms) vs. Limiar para o cenário de alta frequência ($N=1000$).

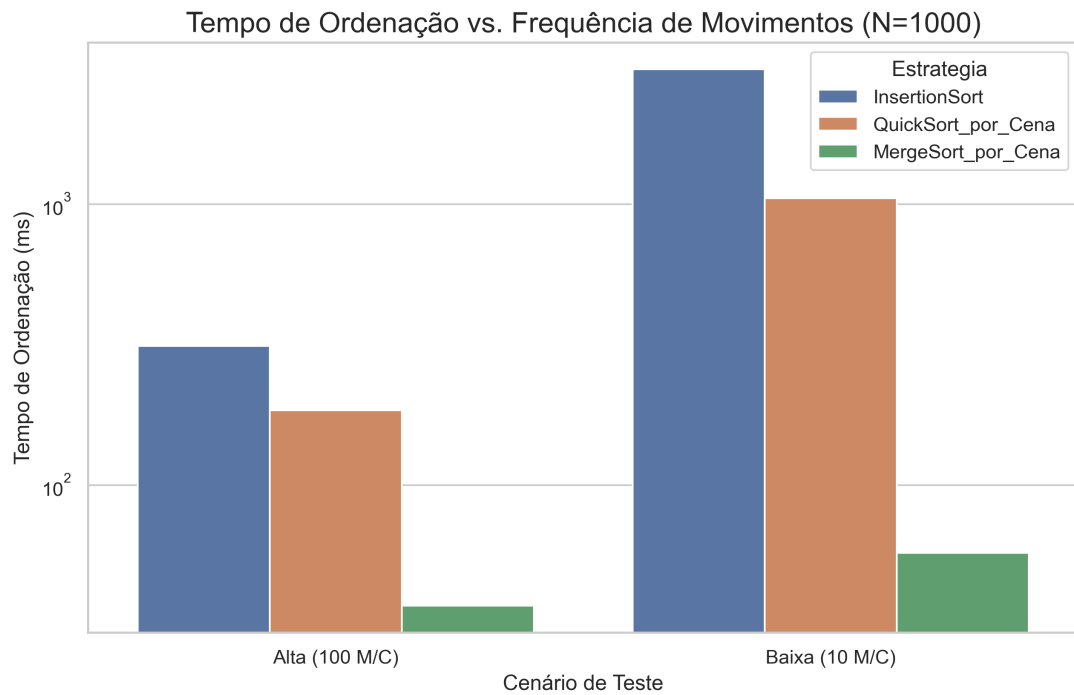


Figura 1: Comparativo de desempenho entre as três estratégias principais.

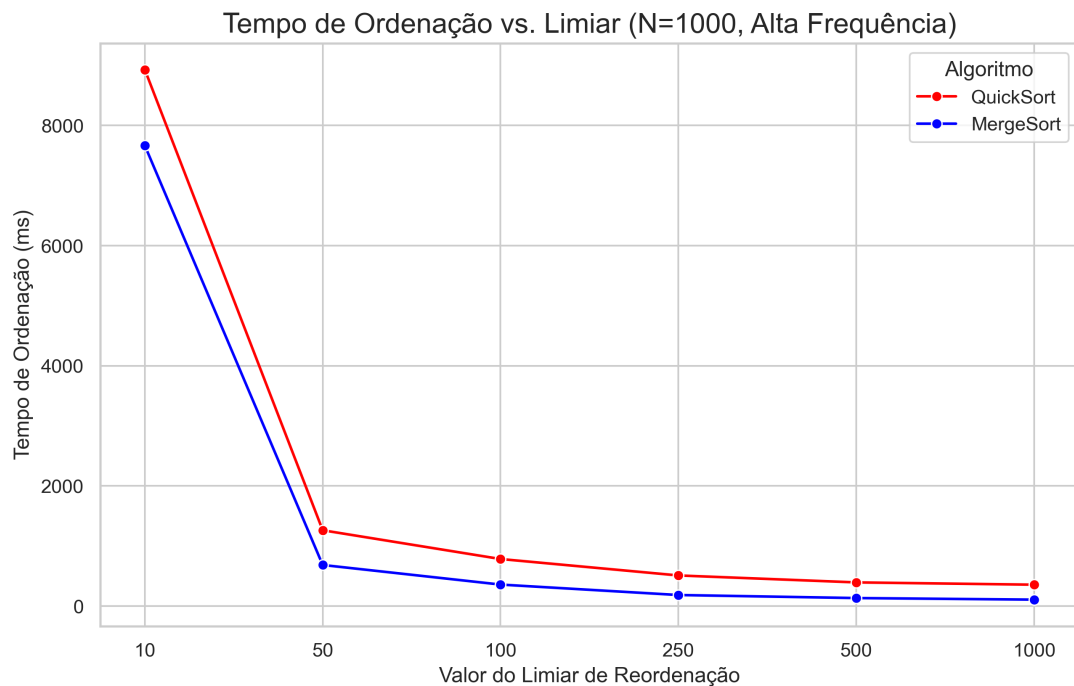


Figura 2: Análise do impacto do limiar de reordenação no tempo total de ordenação. A tendência para ambos os algoritmos é a melhora do desempenho a medida que limiar aumenta.

A análise dos dados permite extrair as seguintes conclusões:

- **Superioridade da Estratégia "Ordenar sob Demanda":** Conforme a Tabela 1 e a Figura 1, as estratégias que ordenam apenas no comando 'C' ('QuickSort'

e ‘MergeSort’) foram muito mais eficientes do que ordenação a cada movimento (‘InsertionSort’), principalmente no cenário de baixa frequência.

- **Desempenho Inesperado do Quick Sort:** Contrariando a expectativa de que o ‘QuickSort’ seria tão rápido quanto o ‘MergeSort’, os dados mostraram que o quickSort apresentou tempos significativamente mais altos, sugerindo que o método encontrou casos de particionamento desfavoráveis com os dados gerados aleatoriamente, se aproximando de sua complexidade de pior caso.
- **Análise do Limiar:** A Tabela 2 e a Figura 2 demonstram que o custo de ordenação diminui drasticamente à medida que o limiar aumenta. Não foi encontrado um “ponto ótimo” intermediário, o melhor desempenho ocorreu com o maior limiar testado. Isso reforça a conclusão de que a melhor abordagem é esperar o máximo possível para reordenar, validando a superioridade da estratégia de “Ordenar sob Demanda”.

5.4 Observação sobre a Largura dos Objetos

Uma observação teórica adicional, que não foi verificada experimentalmente neste trabalho, diz respeito ao impacto da largura dos objetos no desempenho. É razoável concluir que cenários com objetos de grande largura teriam um tempo de execução total menor na etapa de oclusão. Isso ocorre porque objetos largos aumentam a probabilidade de sobreposição, fazendo com que os primeiros objetos processados cubram rapidamente uma grande porção do “horizonte”. Consequentemente, a maioria dos objetos mais ao fundo (maior y) seria descartada mais rapidamente, no início de suas respectivas verificações. Este cenário se opõe diretamente ao pior caso de complexidade do algoritmo ($O(n^2)$), que ocorre justamente quando os objetos tem uma largura pequena e não se sobrepõem, fazendo com que o programa ao pior caso, fazendo todas as verificações possíveis para cada um dos objetos (exatamente a PA analisada em 3.1).

6 Conclusões

Neste trabalho, foi implementado em C++ um algoritmo para a resolução do problema de **Identificação de Objetos Oclusos** em um cenário unidimensional. O sistema é capaz de processar comandos de criação e movimentação de objetos e gerar uma representação da cena contendo apenas os objetos (ou parte de objetos) visíveis.

O desenvolvimento permitiu a aplicação prática de conceitos fundamentais de estruturas de dados, como a implementação e análise de complexidade de algoritmos. A análise de complexidade revelou que o algoritmo de geração de cena possui uma complexidade de tempo de $O(n^2)$, sendo o a fase mais custosa o cálculo de oclusão (ou visibilidade) em relação ao horizonte. A análise experimental reforçou a importância da escolha do algoritmo correto para o contexto do problema, enfatizando o compromisso de desempenho entre realizar atualizações frequentes e baratas versus atualizações raras e custosas.

7 Bibliografia

Referências

- [1] Anisio, Marcio, Wagner, Washington. (2025). *DCC205/DCC221 Estruturas de Dados: Trabalho Prático 1 - Identificação de Objetos Oclusos*. DCC/ICEx/UFMG.
- [2] Anisio, Marcio, Wagner, Washington, (2025). *Slides da Disciplina Estrutura de Dados* [Material Didático disponível via moodle]. DCC/ICEx/UFMG.
- [3] Chamowicz, L. (2025). *Slides Disciplina Programação e Desenvolvimento de Software II* [Material Didático disponível via moodle]. DCC/ICEx/UFMG.
- [4] L. Downs, T. Möller, and C. H. Séquin, *Occlusion Horizons for Driving through Urban Scenery*, In: *Proceedings of the ACM Symposium on Interactive 3D Graphics*, pp. 199–200, 2001. DOI: [10.1145/364338.364378](https://doi.org/10.1145/364338.364378). Disponível também em: https://www.researchgate.net/publication/220792024_Occlusion_horizons_for_driving_through_urban_scenery.
- [5] Cormen, T. H., Leiserson, C. E., Rivest, R. L., & Stein, C. (2022). *Introduction to algorithms* (4th ed.). MIT Press. O Capítulo 17, em especial a Seção 17.3 ("Interval Trees").
- [6] Foley, J. D., van Dam, A., Feiner, S. K., & Hughes, J. F. (1996). *Computer Graphics: Principles and Practice* (2nd ed. in C). Addison-Wesley. O Capítulo 15 ("Visible-Surface Determination").
- [7] GeeksforGeeks. *Insertion Sort*. GeeksforGeeks. Acessado em 24 de setembro de 2025. Disponível em: <https://www.geeksforgeeks.org/insertion-sort/>
- [8] GeeksforGeeks. *Quick Sort*. GeeksforGeeks. Acessado em 24 de setembro de 2025. Disponível em: <https://www.geeksforgeeks.org/quick-sort/>
- [9] GeeksforGeeks. *Merge Sort*. GeeksforGeeks. Acessado em 24 de setembro de 2025. Disponível em: <https://www.geeksforgeeks.org/merge-sort/>